

Département Infrastructures Marines et Numériques
Unité Informatique et Données Marines

Auteur:
Françoise Le Hingrat

09 septembre 2022
SISMER - R.INT.IDM/SISMER/SIS22-035

DONNEES ADCP DU N/O
ATALANTE

Année 2022

ADCP de coque OS-38 kHz et OS-150 kHz

SOMMAIRE

1	INTRODUCTION GENERALE	4
1.1	Récapitulatif des campagnes de L'Atalante 2022.....	4
1.2	Récapitulatif sur la qualité des données.....	4
1.3	Configuration des ADCP.....	5
1.4	Traitements effectués	5
1.5	Qualité des données reçues	6
1.6	Image des sections.....	7
2	TR_BESPTP (FEVRIER-MARS) – OS38 - WT	8
2.1	Qualité des données reçues	8
2.1.1	CORR_ECI	8
2.1.2	CAP/ROULIS/TANGAGE	9
2.2	Composantes parallèle et orthogonale.....	9
2.3	Invalidation entre deux ensembles.....	10
2.4	Matérialisation des périodes sans mesure	10
2.5	Correction de désalignement	10
2.6	Nettoyage des données.....	10
2.7	Exploitation des données – Tracés	11
2.7.1	La marée.....	11
2.7.2	Définition des sections.....	11
2.7.3	Images des sections.....	12
2.7.4	Tracés des vecteurs des sections.....	12
3	ESSTECH_AT_2022_2 (SEPTEMBRE) – OS150 - WT	14
3.1	Qualité des données reçues	14
3.1.1	CORR_ECI	14
3.1.2	CAP/ROULIS/TANGAGE	15
3.2	Composantes parallèle et orthogonale.....	15
3.3	Invalidation entre deux ensembles.....	15
3.4	Matérialisation des périodes sans mesure	16
3.5	Correction de désalignement	16
3.6	Nettoyage des données.....	16
3.7	Exploitation des données – Tracés	17
3.7.1	La marée.....	17
3.7.2	Définition des sections.....	17
3.7.3	Images des sections.....	18
3.7.4	Tracés des vecteurs des sections.....	18

4	HIPER (MARS - AVRIL) – OS38 - WT	20
4.1	Qualité des données reçues	20
	4.1.1CORR_ECI	20
	4.1.2CAP/ROULIS/TANGAGE	21
4.2	Composantes parallèle et orthogonale.....	21
4.3	Invalidation entre deux ensembles.....	21
4.4	Matérialisation des périodes sans mesure	21
4.5	Correction de désalignement	22
4.6	Nettoyage des données	22
4.7	Exploitation des données – Tracés	22
	4.7.1La marée.....	22
	4.7.2Définition des sections.....	23
	4.7.3Images des sections.....	24
	4.7.4Tracés des vecteurs des sections.....	25

1 Introduction générale

Ce document présente le traitement des données ADCP de coque, du navire Océanographique 'L'Atalante' pour les campagnes qui se sont déroulées en 2022.

Les données sont exploitées à l'aide du logiciel CASCADE V7.2 développé sous MATLAB par le LPO (C. Kermabon).

1.1 Récapitulatif des campagnes de L'Atalante 2022

Nom campagne	Type ADCP	Période	Zone
TR_BESPTP	OS38	19/02/2022 03/03/2022	Atlantique
ESSTECH_AT_2022_2	OS150	29/09/2022 29/09/2022	Atlantique Nord
HIPER	OS38	13/03/2022 24/04/2022	Atlantique Nord - Pacifique

Tableau 1 – Liste des campagnes présentes dans ce document

1.2 Récapitulatif sur la qualité des données

Nom campagne	Type ADCP	Période	Zone	Bonnes (%)	Absentes (%)	Sous fond (%)	Portée max (m)
TR_BESPTP	OS38 WT	Février- Mars	Atlantique	56.61	21.27	2.96	1500
ESSTECH_AT_2022_2	OS150 WT	Septembre	Atlantique Nord	5.14	0.00	94.22	200
HIPER	OS38 WT	Mars – Avril	Atlantique Nord – Pacifique	46.08	10.06	35.27	2100

Tableau 2 : Qualité des données présentes dans ce document

1.3 Configuration des ADCP

La configuration de l'ADCP OS38 est donnée dans le tableau 1 et celle de l'ADCP OS 150 dans le tableau 2.

Angle des faisceaux par rapport à la verticale	
Fréquence	38 kHz
Système	OS (Ocean Surveyor)
Gamme de vitesse	High
Orientation	
Configuration des faisceaux	
Angle de l'ADCP avec l'axe du navire	45 degrés
Longueur des cellules	24 mètres (grands fonds) 16 mètres (côtier)
Nombre de cellules par ping	70
Ping par ensemble	

Tableau 3– Configuration de l'ADCP OS 38 KHz

Angle des faisceaux par rapport à la verticale	
Fréquence	150 kHz
Système	OS (Ocean Surveyor)
Gamme de vitesse	High
Orientation	
Configuration des faisceaux	
Angle de l'ADCP avec l'axe du navire	45 degrés
Longueur des cellules	8 mètres (grands fonds) 4 mètres (côtier)
Nombre de cellules par ping	75
Ping par ensemble	

Tableau 4 – Configuration de l'ADCP OS 150 KHz

1.4 Traitements effectués

Les traitements ont été réalisés avec le logiciel CASCADE_EXPLOIT et se décomposent en cinq étapes principales:

1. Création d'un fichier campagne unique au format NetCDF à la norme OceanSite.
2. Nettoyage du fichier = les données mesurées sont affectées d'un indicateur qualité dont les valeurs sont présentées dans le tableau 3.
3. Ajout de la marée
4. Création de sections et/ou de stations et génération des images et des tracés de vecteurs pour les sections et/ou les stations définies.
5. Application d'un filtre linéaire

Sur les appareils de type OS, il ne sert à rien d'essayer d'obtenir un Wmoyen proche de 0.

Les valeurs indiquées dans les tableaux de résultats de ce rapport sont donc les valeurs obtenues sans correction de l'assiette.

Flag	Signification	Variable associée
1	Données bonnes	
2	Données douteuses (données relatives aux cellules dont l'une des composantes horizontales (U et V) diffère trop des 5 voisins horizontaux et verticaux ou points isolés) Lorsque plus de 50% de la couche de référence est flaguée incorrecte (à 2 ou plus) tout le profil sous le premier point douteux est flagué à 2	Vdifflim fact_sis cis_max_u
3	Données mauvaises Filtre médian sur 30 (N_fl3) ensembles au-delà de 2.7 (X_fl3) écarts-types.	N_fl3 X_fl3
4	Cellules dont l'une des composantes horizontales a un cisaillement vertical différentiel > 0.3 (X) cm/s. L'histogramme des cisaillements tracé en début de nettoyage permet de déterminer la valeur X .	cis_max
5	Cellules dont la vitesse verticale du courant et/ou erms > 30 (X) cm/s ou erreur	w_max
6	Cellules dont l'une des vitesses absolues horizontales (U ou V) > 4 (X) m/s	v_max
7	Données absentes	
8	Données sous le fond en fonction du Bottom Ping (ADCP) ou de la Bathymétrie	
9	Données invalidées entre 2 dates ou entre 2 ensembles par l'utilisateur	
10	Données sous le fond en fonction de la détection amplitude, intensité écho	

Tableau 5 – Valeurs des flags qualité (les valeurs en gras peuvent être modifiées par l'utilisateur)

1.5 Qualité des données reçues

Un premier aperçu de la qualité des données est fourni par l'indicateur de corrélation entre le signal émis et le signal reçu. Plus ces 2 signaux sont corrélés (>150), meilleure est la mesure.

L'intensité de l'écho rétro diffusé est une caractéristique de la qualité de la diffusion.

Les graphes de CORR et ECI seront présentés pour chaque campagne.

Un fichier de bathymétrie est associé à chaque campagne. Ceci permet d'enlever les points que la bathymétrie a considérés comme étant sous le fond. Dans les graphes représentant la qualité des données (CORR et ECI), on peut apercevoir la bathymétrie sous forme de trait noir sous lequel les

données ne seront pas prises en compte.

La qualité des données est également représentée par le graphe CAP/ROULIS/TANGAGE.

1.6 Image des sections

Pour chacune des sections, 2 graphes sont présentés :

- U = composante Est-Ouest du courant (>0, vers l'Est)
- V = Composante Nord-Sud du courant (>0 vers le Nord)

2 TR_BESPTP (Février-Mars) – OS38 - WT

Ce transit comprend 7 fichiers STA en WT.

Le trajet du navire est le suivant :

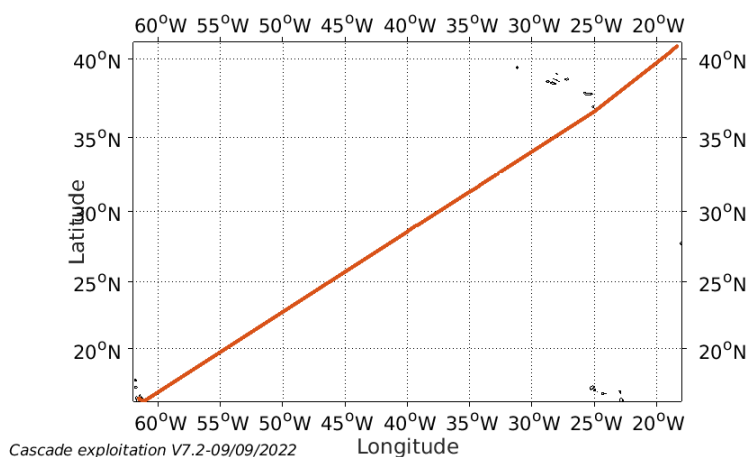
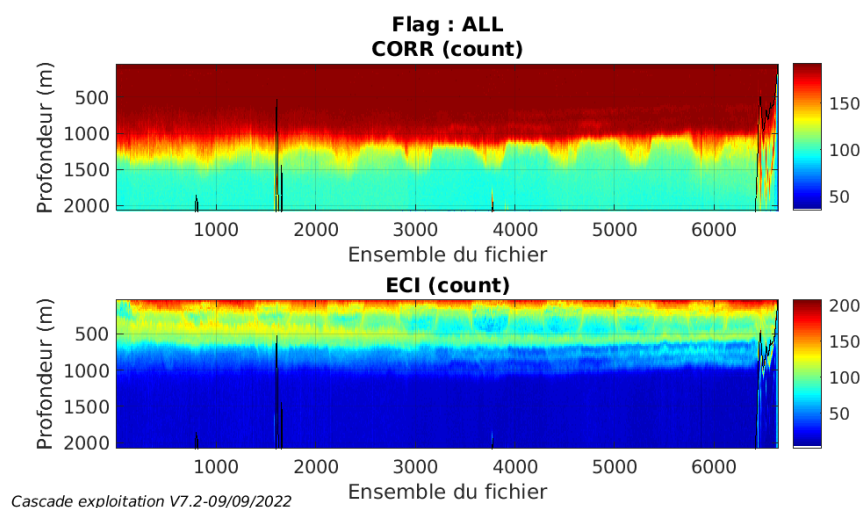


Figure 1- Route du navire durant la campagne

2.1 Qualité des données reçues

2.1.1 CORR_ECI

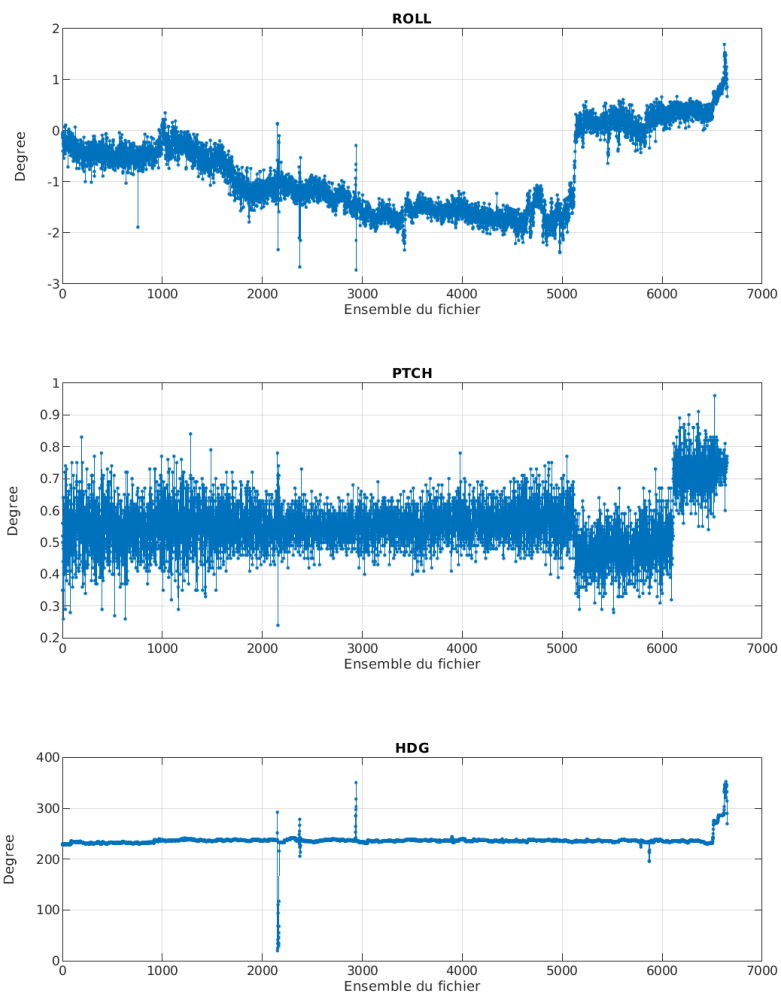


Cascade exploitation V7.2-09/09/2022

Figure 2 – Indicateur de corrélation (graphe haut) et intensité de l'écho rétro-diffusé (graphe bas) pour tous les flags qualité

2.1.2 CAP/ROULIS/TANGAGE

Roll : roulis / Ptch : tangage / Hdg : cap



Cascade exploitation V7.2-09/09/2022

2.2 Composantes parallèle et orthogonale

Les informations sur les composantes parallèle et orthogonale à la vitesse du navire sont :

	Corrélation Min	Corrélation Max
Composante parallèle	0	0
Composante orthogonale	0	0

Tableau 6–Composantes parallèle et orthogonale

2.3 Invalidation entre deux ensembles

Pas d'objet.

2.4 Matérialisation des périodes sans mesure

Pas d'objet.

2.5 Correction de désalignement

Le calcul Amplitude / désalignement / assiette nous informe que des changements sont possibles pour faire un désalignement et améliorer la vitesse verticale moyenne sur les bonnes données.

Valeurs rentrées au moment du désalignement :

Angle de désalignement	0 (valeur par défaut)
Amplitude	1 (valeur par défaut)
Erreur sur le tangage	-0.53

La vitesse Verticale moyenne issue du désalignement pour les bonnes données (Bins [41 45]) est de 0.130 cm/s.

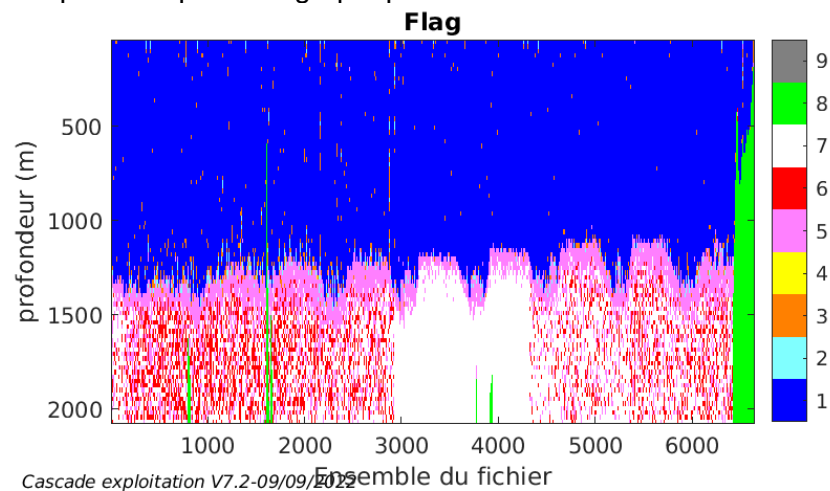
Suite à ce désalignement les actions suivantes sont faites sur le nouveau fichier :

- Nettoyage des données
- Tracés des graphes 2D.

Les graphes et les valeurs des tableaux suivants sont donc issus de ce fichier après désalignement.

2.6 Nettoyage des données

Ce qui correspond au graphique suivant :



2.7 Exploitation des données – Tracés

2.7.1 La marée

Les composantes de la marée ont été prises en compte lors du calcul des vitesses du courant (model_tpxo9.0).

2.7.2 Définition des sections

Au cours de cette campagne, 1 section a été défini :

N°	Date début	Date fin	Localisation
1	22/02/2022 10:06:14	03/03/2022 15:41:08	Atlantique

Tableau 7– Date et localisation des sections de la campagne

La carte est la suivante :

TR_BESPTP_2022_ATALANTE_38K_WT_1_sec_05xs1

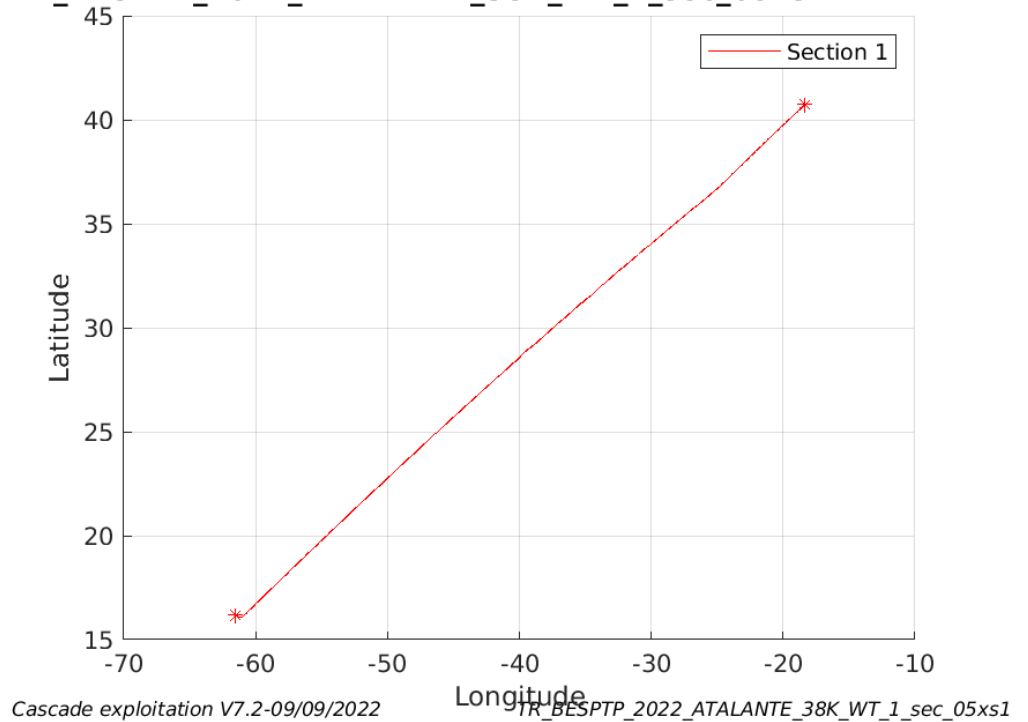
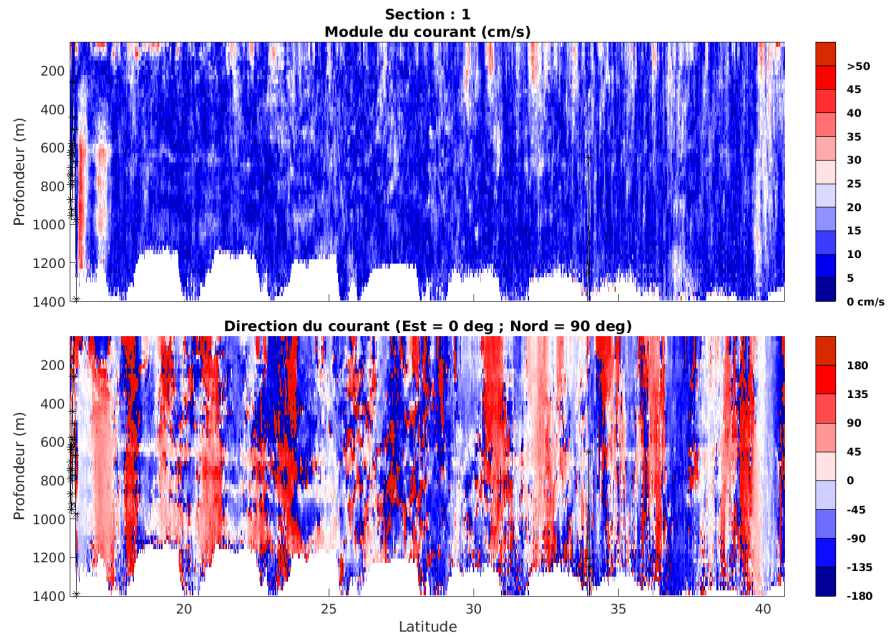


Figure 3– Carte des sections définies sur le trajet de la campagne

2.7.3 Images des sections



Cascade exploitation V7.2-09/09/2022

TR_BESPTP_2022_ATALANTE_38K_WT_1_sec_05xs1

Figure 4 – Composantes du courant – Section 1 de la campagne de 0 à 1400m

2.7.4 Tracés des vecteurs des sections

Les tracés de vecteurs sont réalisés avec une distance entre chaque point égale à 5 kms. Les tranches 0-100m et 100-200m sont tracées dans ce document.

Le facteur d'échelle est de 0.1 et 1 donnée sur 2 est tracée.

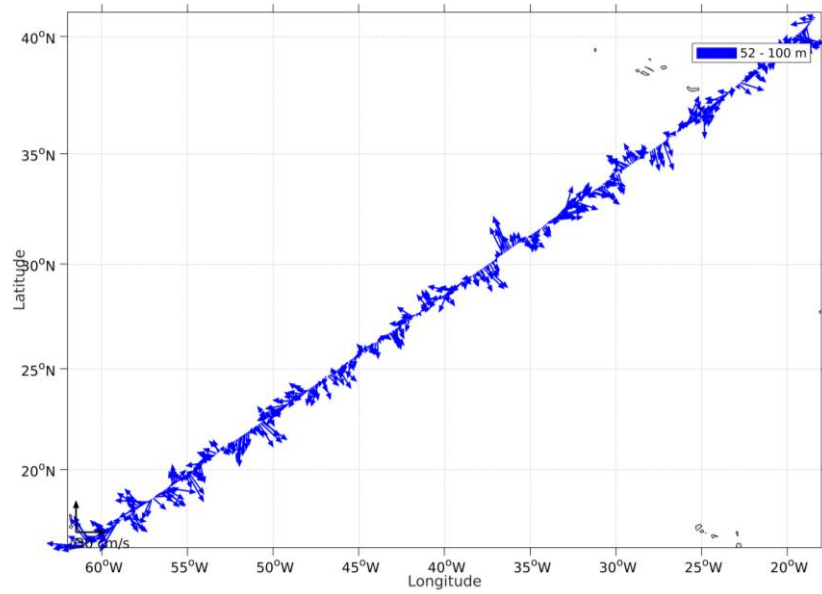


Figure 5- Vecteurs du courant de la section 1 de 0 à 100 m

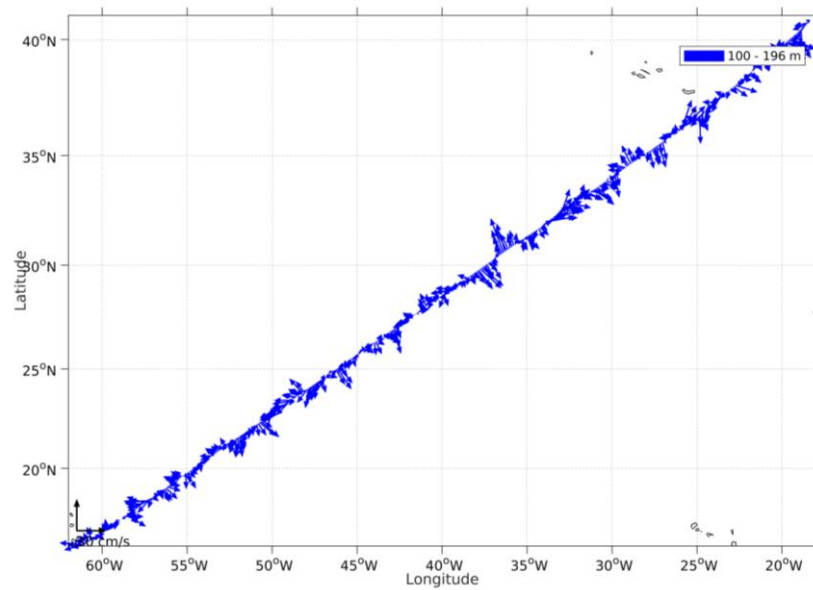


Figure 6- Vecteurs du courant de la section 1 de 100 à 200 m

3 ESSTECH_AT_2022_2 (Septembre) – OS150 - WT

Ce transit comprend 1 fichier STA en WT.

Le trajet du navire est le suivant :

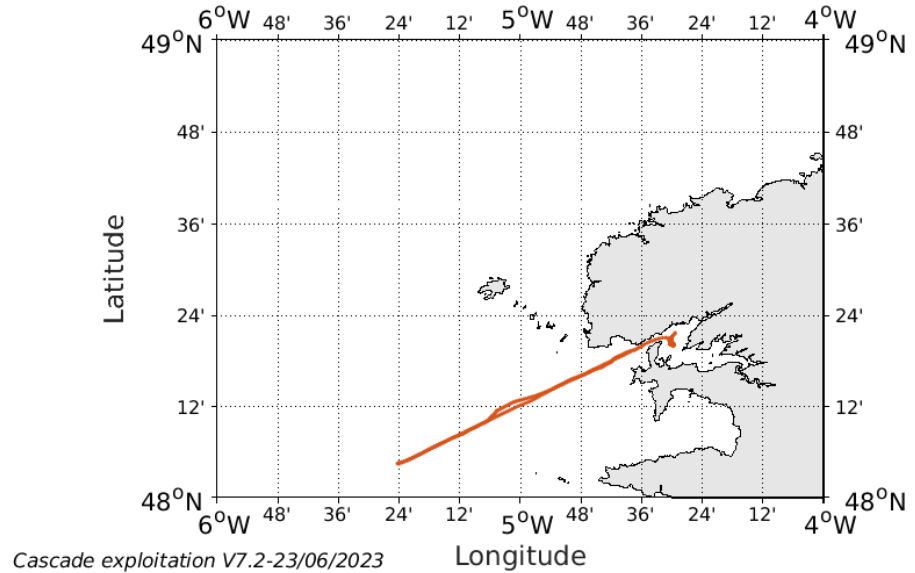


Figure 7- Route du navire durant la campagne

3.1 Qualité des données reçues

3.1.1 CORR_ECI

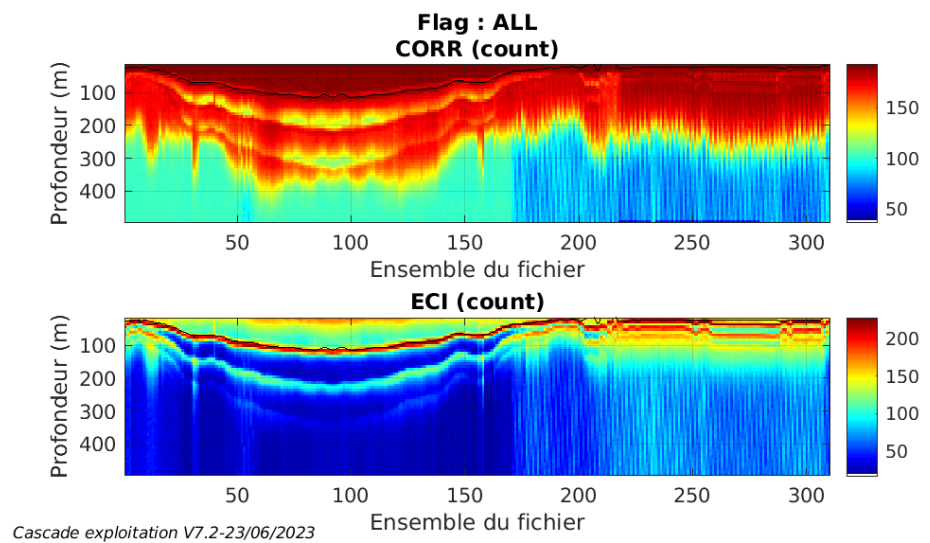
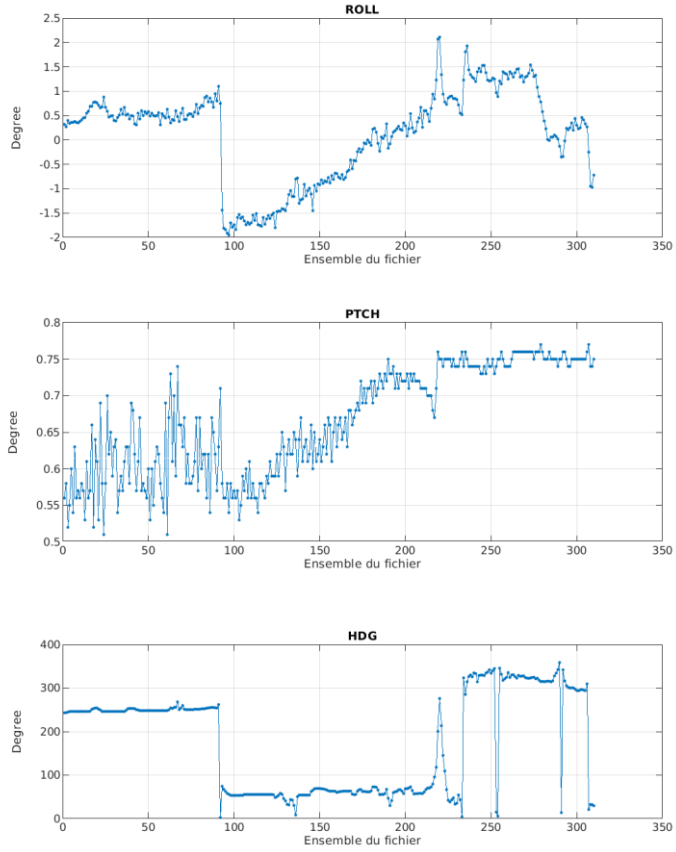


Figure 8 – Indicateur de corrélation (graphe haut) et intensité de l'écho rétro-diffusé (graphe bas) pour tous les flags qualité

3.1.2 CAP/ROULIS/TANGAGE

Roll : roulis / Ptch : tangage / Hdg : cap



Cascade exploitation V7.2-23/06/2023

3.2 Composantes parallèle et orthogonale

Les informations sur les composantes parallèle et orthogonale à la vitesse du navire sont :

	Corrélation Min	Corrélation Max
Composante parallèle	0	0
Composante orthogonale	0	0

Tableau 8–Composantes parallèle et orthogonale

3.3 Invalidation entre deux ensembles

Pas d'objet.

3.4 Matérialisation des périodes sans mesure

Pas d'objet.

3.5 Correction de désalignement

Le calcul Amplitude / désalignement / assiette nous informe que des changements sont possibles pour faire un désalignement et améliorer la vitesse verticale moyenne sur les bonnes données.

Valeurs rentrées au moment du désalignement :

Angle de désalignement	0 (valeur par défaut)
Amplitude	1 (valeur par défaut)
Erreur sur le tangage	0 (valeur par défaut)

La vitesse Verticale moyenne issue du désalignement pour les bonnes données (Bins [1 3]) est de -4.518 cm/s.

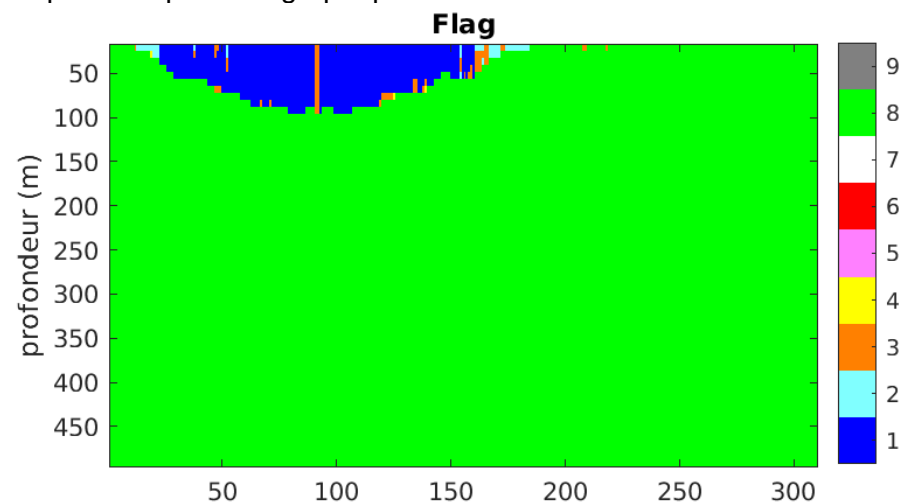
Suite à ce désalignement les actions suivantes sont faites sur le nouveau fichier :

- Nettoyage des données
- Tracés des graphes 2D.

Les graphes et les valeurs des tableaux suivants sont donc issus de ce fichier après désalignement.

3.6 Nettoyage des données

Ce qui correspond au graphique suivant :



Cascade exploitation V7.2-23/06/2025

3.7 Exploitation des données – Tracés

3.7.1 La marée

Les composantes de la marée ont été prises en compte lors du calcul des vitesses du courant (model_tpx09.0).

3.7.2 Définition des sections

Au cours de cette campagne, 1 section a été défini :

N°	Date début	Date fin	Localisation
1	29/09/2022 06:07:17	29/09/2022 16:25:03	Atlantique Nord

Tableau 9– Date et localisation des sections de la campagne

La carte est la suivante :

ESSTECH_AT_2_2022_ATAL_150KWT_1_sec_05xs1

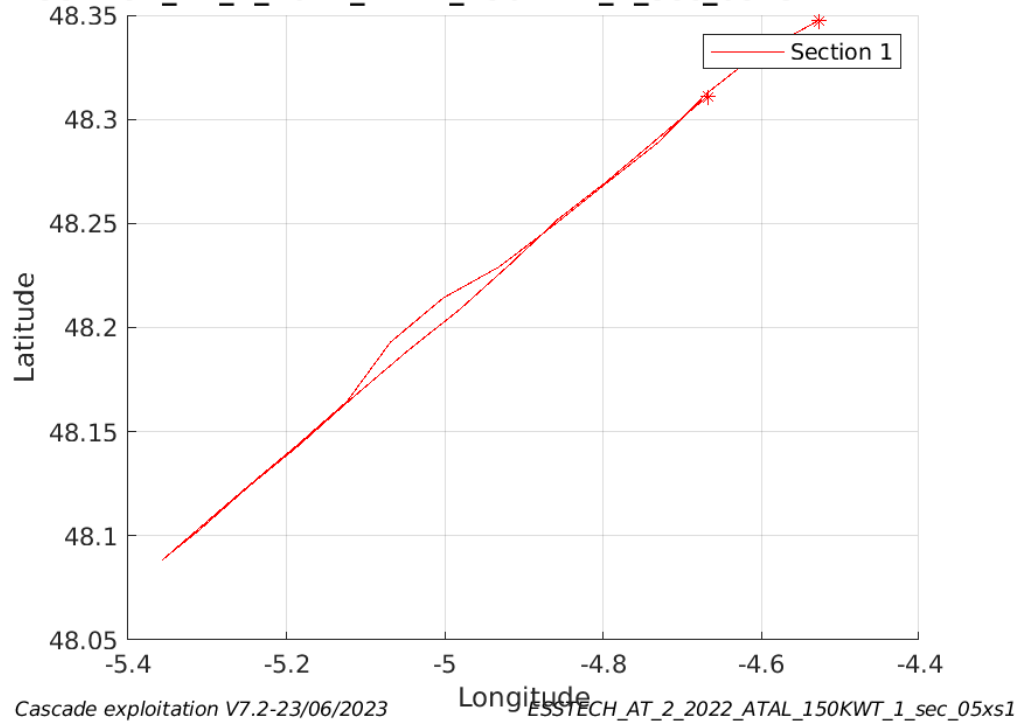
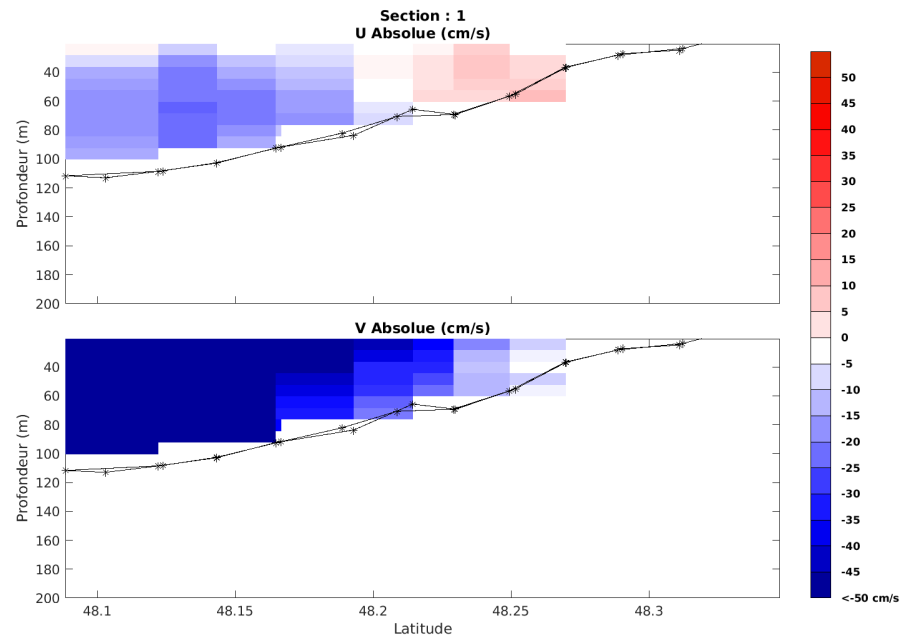


Figure 9– Carte des sections définies sur le trajet de la campagne

3.7.3 Images des sections



Cascade exploitation V7.2-23/06/2023

ESSTECH_AT_2_2022_ATAL_150KWT_1_sec_05xs1

Figure 10 – Composantes du courant – Section 1 de la campagne de 0 à 200m

3.7.4 Tracés des vecteurs des sections

Les tracés de vecteurs sont réalisés avec une distance entre chaque point égale à 5 kms. Les tranches 0-50m et 50-100m sont tracées dans ce document.

Le facteur d'échelle est de 0.12 et toutes les données sont tracées.

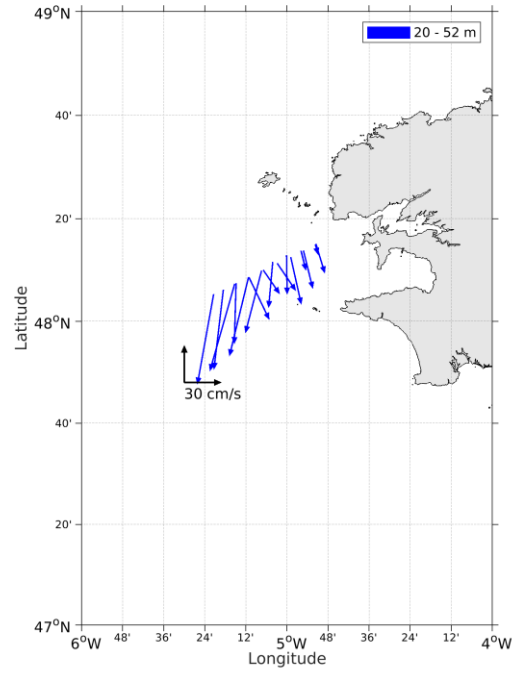


Figure 11- Vecteurs du courant de la section 1 de 0 à 50 m

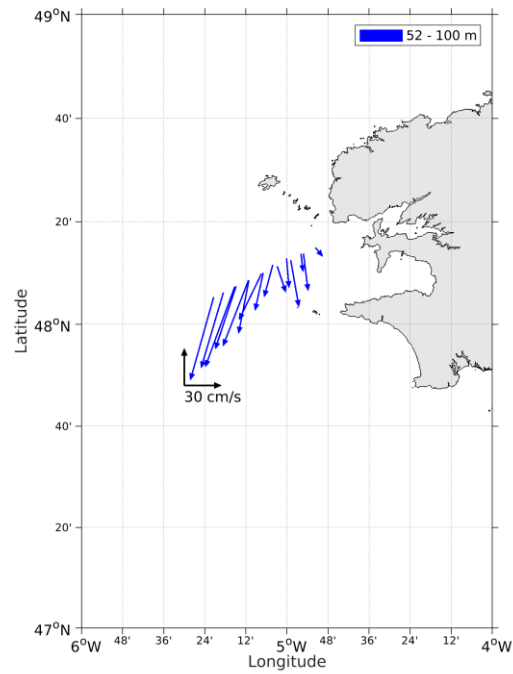


Figure 12- Vecteurs du courant de la section 1 de 50 à 100 m

4 HIPER (Mars - Avril) – OS38 - WT

Ce transit comprend 41 fichiers STA en WT.

Le trajet du navire est le suivant :

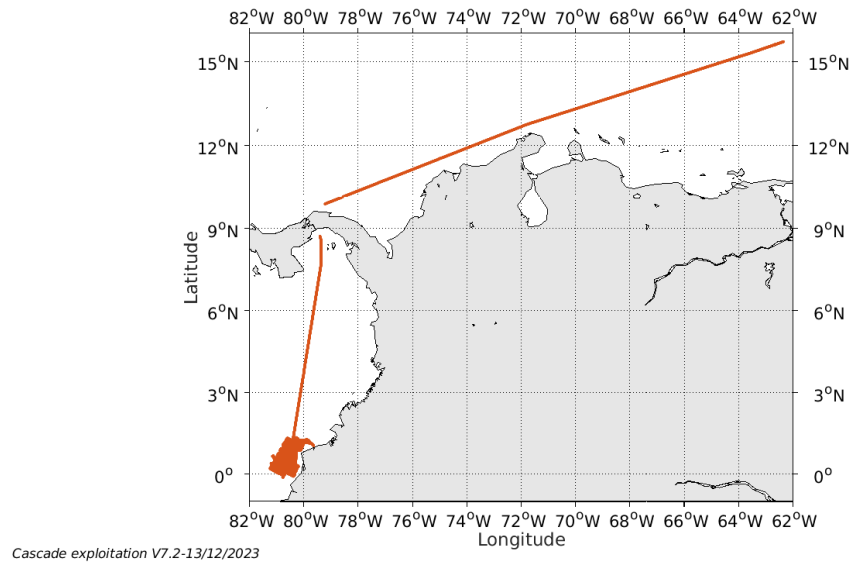


Figure 13- Route du navire durant la campagne

4.1 Qualité des données reçues

4.1.1 CORR_ECI

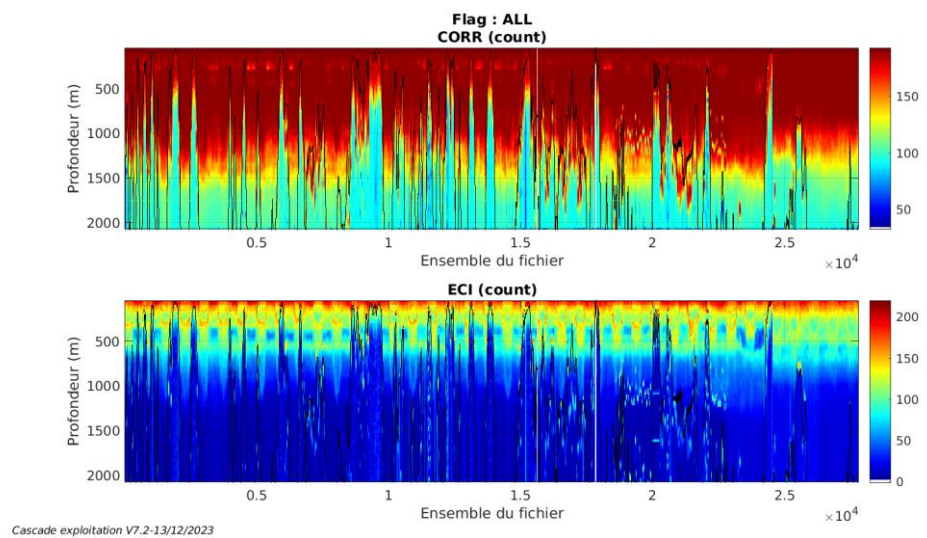
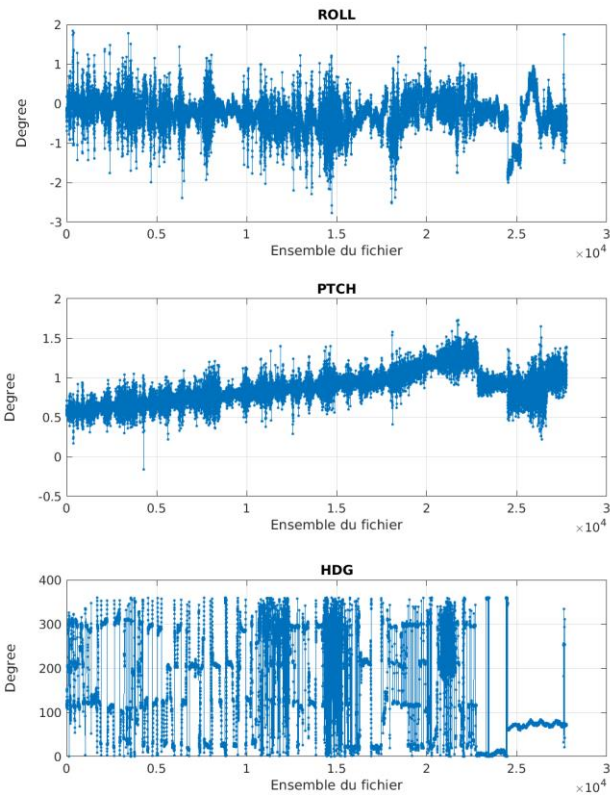


Figure 14 – Indicateur de corrélation (graphe haut) et intensité de l'écho rétro-diffusé (graphe bas) pour tous les flags qualité

4.1.2 CAP/ROULIS/TANGAGE

Roll : roulis / Ptch : tangage / Hdg : cap



Cascade exploitation V7.2-13/12/2023

4.2 Composantes parallèle et orthogonale

Les informations sur les composantes parallèle et orthogonale à la vitesse du navire sont :

	Corrélation Min	Corrélation Max
Composante parallèle	0.260	0.487
Composante orthogonale	-0.108	0.157

Tableau 10–Composantes parallèle et orthogonale

4.3 Invalidation entre deux ensembles

Pas d'objet.

4.4 Matérialisation des périodes sans mesure

Pour une durée de 20 min.

4.5 Correction de désalignement

Le calcul Amplitude / désalignement / assiette nous informe que des changements sont possibles pour faire un désalignement et améliorer la vitesse verticale moyenne sur les bonnes données.

Valeurs rentrées au moment du désalignement :

Angle de désalignement	0 (valeur par défaut)
Amplitude	1 (valeur par défaut)
Erreur sur le tangage	-0.6

La vitesse Verticale moyenne issue du désalignement pour les bonnes données (Bins [12 16]) est de -0.425 cm/s.

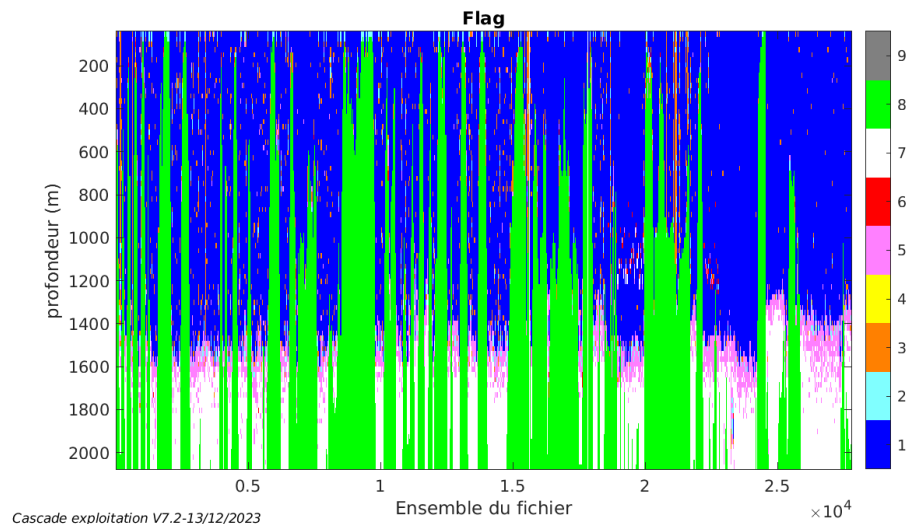
Suite à ce désalignement les actions suivantes sont faites sur le nouveau fichier :

- Nettoyage des données
- Tracés des graphes 2D.

Les graphes et les valeurs des tableaux suivants sont donc issus de ce fichier après désalignement.

4.6 Nettoyage des données

Ce qui correspond au graphique suivant :



4.7 Exploitation des données – Tracés

4.7.1 La marée

Les composantes de la marée ont été prises en compte lors du calcul des vitesses du courant (model_tpxo9.0).

4.7.2 Définition des sections

Au cours de cette campagne, 1 section a été défini :

N°	Date début	Date fin	Localisation
1	13/03/2022 13:38:27	14/04/2022 11:05:23	Pacifique
2	14/04/2022 11:07:28	16/04/2022 21:02:32	Pacifique
1	19/04/2022 12:26:40	24/04/2022 01:06:59	Atlantique Nord

Tableau 11– Date et localisation des sections de la campagne

La carte est la suivante :

HIPER_2022_ATAL_38KWT_1E_sec_05xs1

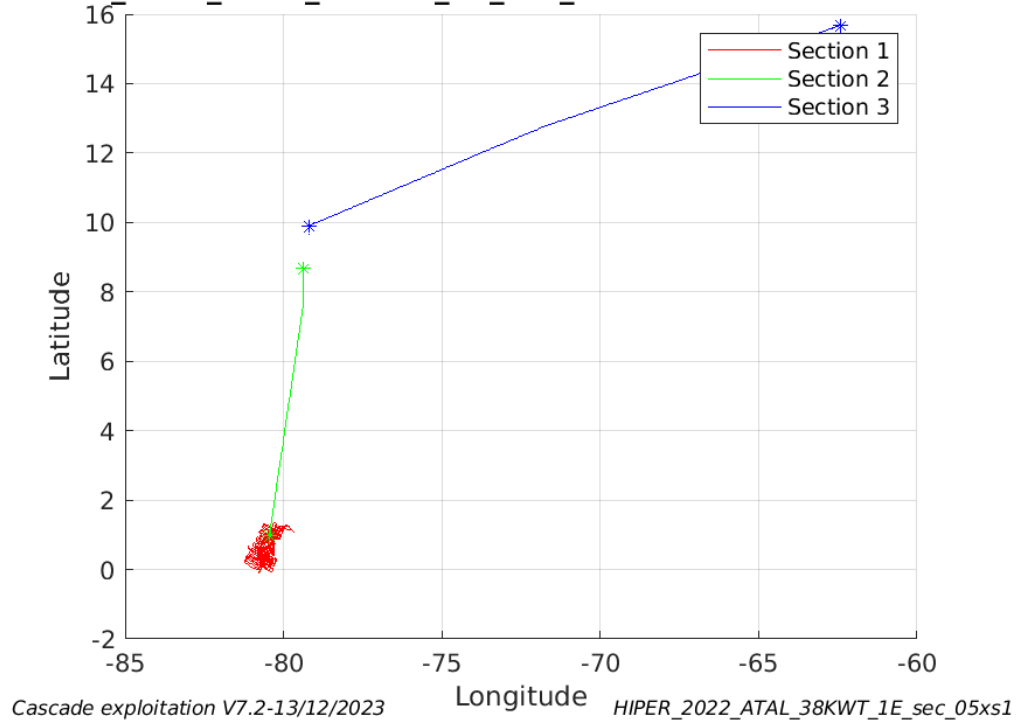
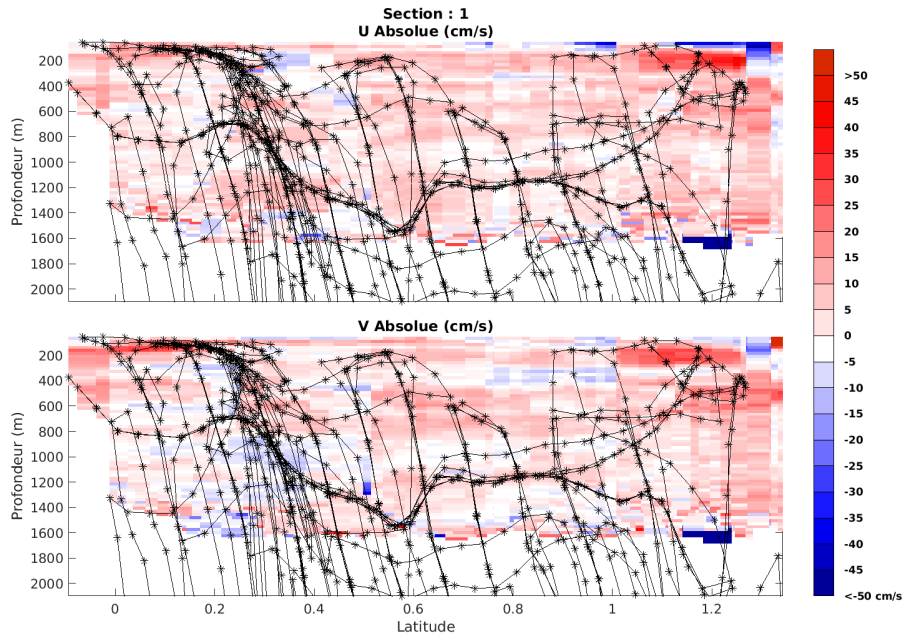


Figure 15– Carte des sections définies sur le trajet de la campagne

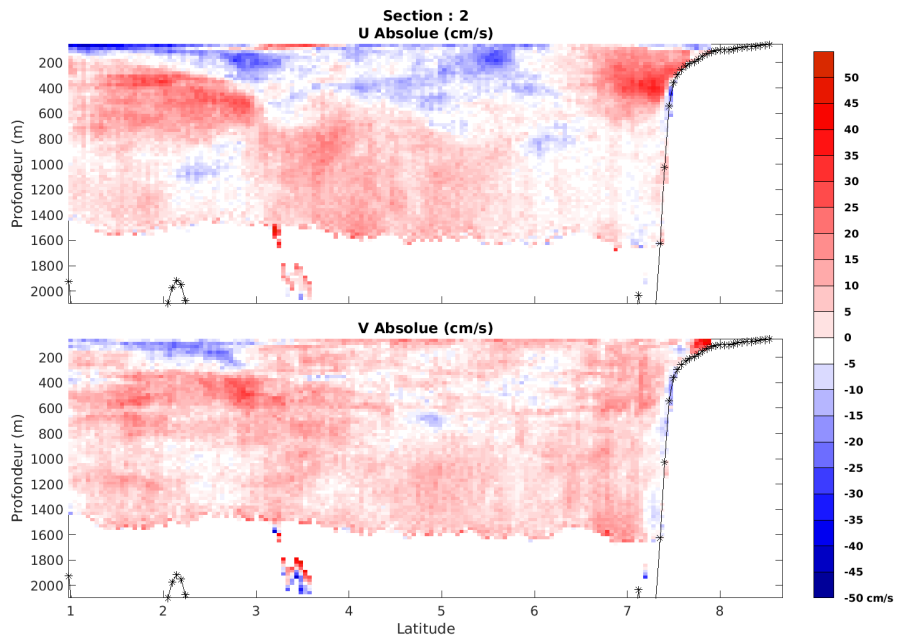
4.7.3 Images des sections



Cascade exploitation V7.2-13/12/2023

HIPER_2022_ATAL_38KWT_1E_sec_05xs1

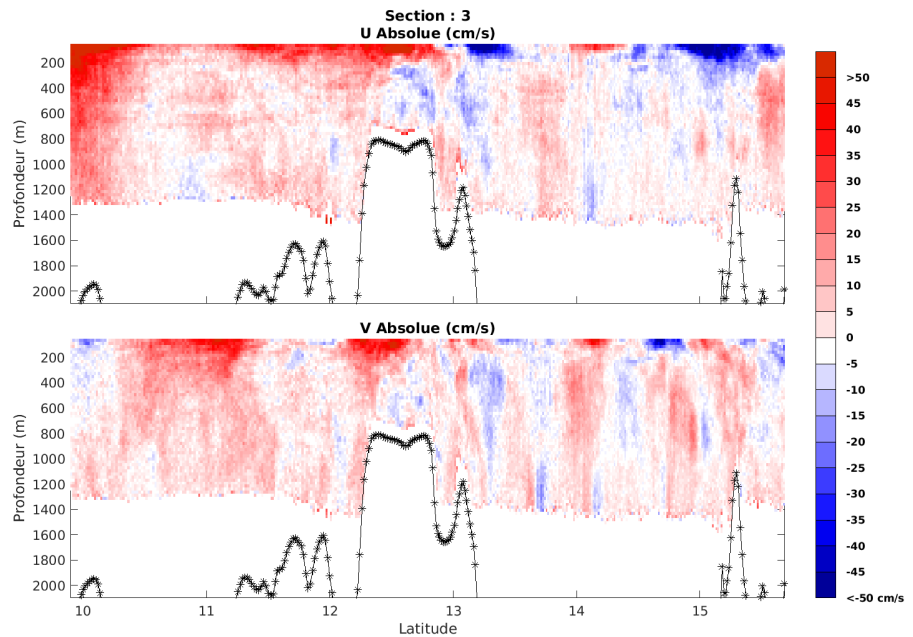
Figure 16 – Composantes du courant – Section 1 de la campagne de 0 à 2100m



Cascade exploitation V7.2-13/12/2023

HIPER_2022_ATAL_38KWT_1E_sec_05xs1

Figure 17 – Composantes du courant – Section 2 de la campagne de 0 à 2100m



Cascade exploitation V7.2-13/12/2023

HIPER_2022_ATAL_38KWT_1E_sec_05xs1

Figure 18 – Composantes du courant – Section 3 de la campagne de 0 à 2100m

4.7.4 Tracés des vecteurs des sections

Les tracés de vecteurs sont réalisés avec une distance entre chaque point égale à 5 kms. Les tranches 0-100m et 100-200m sont tracées dans ce document.

Le facteur d'échelle est de 0.1 et 1 donnée sur 2 sont tracées.

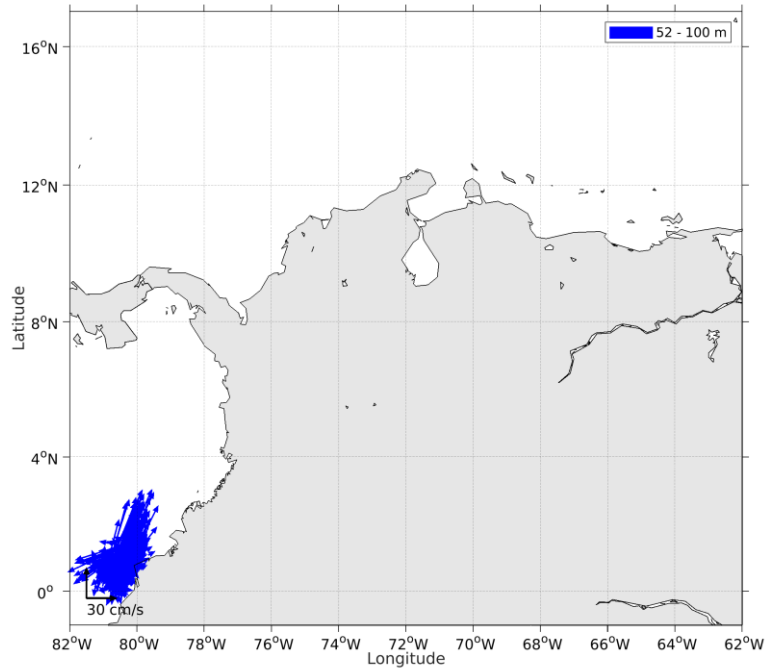


Figure 19- Vecteurs du courant de la section 1 de 0 à 100 m

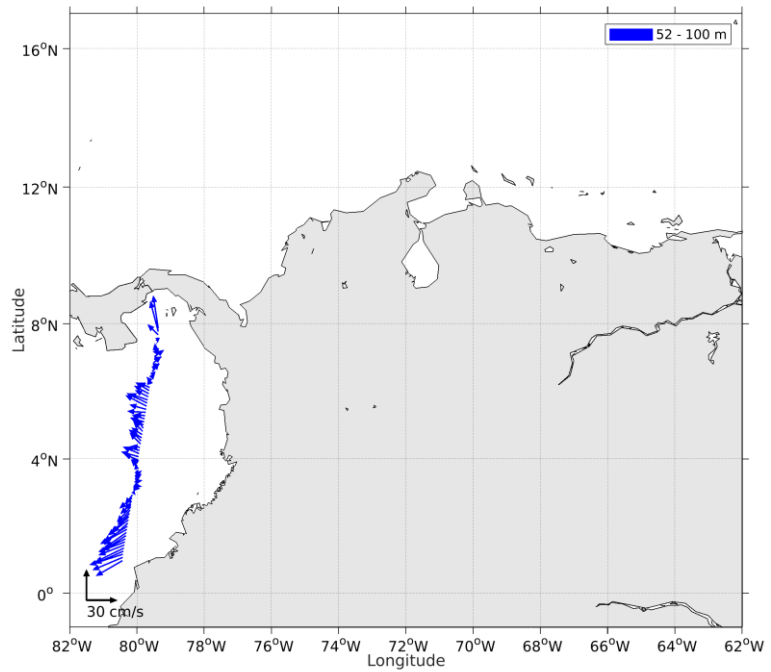


Figure 20- Vecteurs du courant de la section 2 de 0 à 100 m

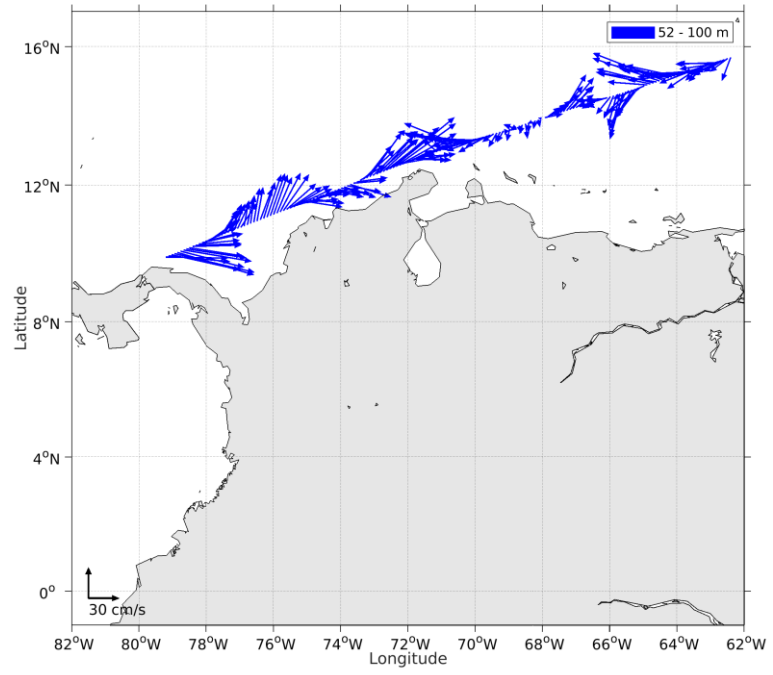


Figure 21- Vecteurs du courant de la section 3 de 0 à 100 m

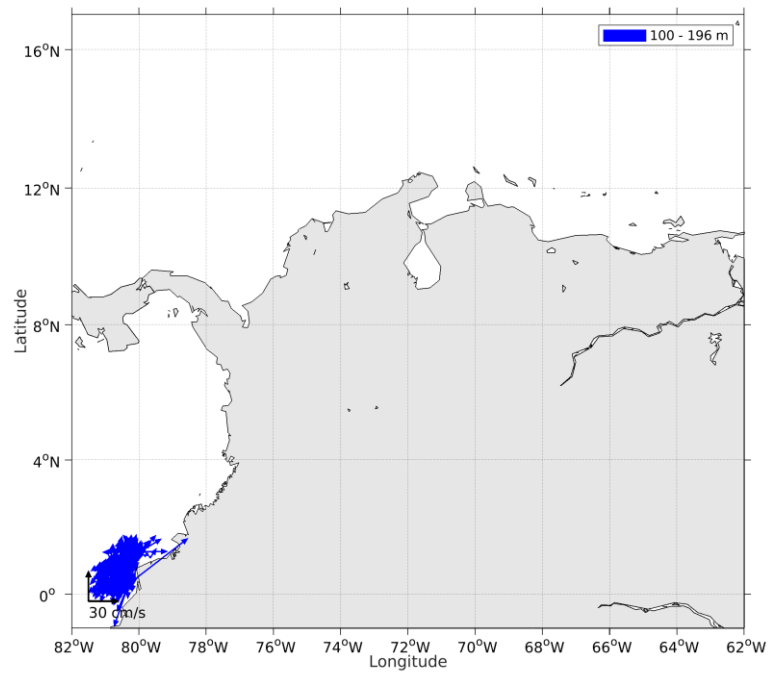
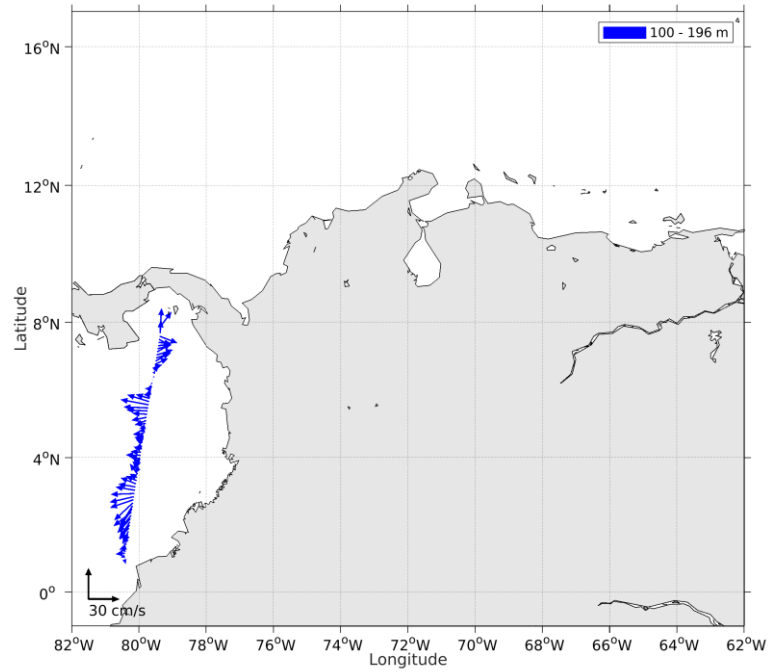
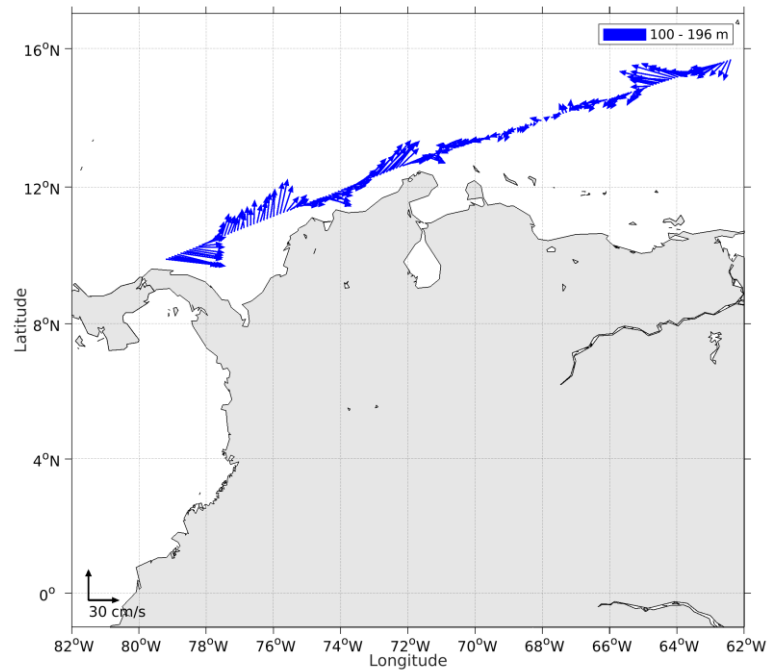


Figure 22- Vecteurs du courant de la section 1 de 100 à 200 m**Figure 23- Vecteurs du courant de la section 2 de 100 à 200 m****Figure 24- Vecteurs du courant de la section 3 de 100 à 200 m**